

Structure and Rheological properties of Biopolymer solution

—Microbial polysaccharides—

Dept. of Foods and Nutrition Kyung Hee University

Sung Ja Koo

서 론

Biopolymer들은 식품에서부터 oil 산업에 까지 광범위하게 사용되고 있으며, 이를 응용들은 수용액계에서 rheology 특성에 좌우된다. 대부분의 biopolymer들은 매우 점성이 높은 용액을 만들며 몇몇 biopolymer들은 어려조건하에서는 gel을 형성하는 능력을 가진다¹⁾. 최근에는 다당류용액의 점성에 대한 이해가 상당한 진전을 보이고 있는데 이는 산업에 의한 실험적 측정기술보다는 기초연구로서 의의가 크기 때문이다.

Biopolymer들은 식물, 세균, 곰팡이 및 효모등에 의하여 생합성되고 있으나 실제로 많은 중요한 biopolymer들은 미생물 발효와 macroalgae로부터 추출하여 얻고 있다. 대규모 생산에서 발효는 재생산성 및 공급이 보장되는 이점을 가지며, 합성은 발효에 의한 생산보다 우수한 품질과 경제성을 고려할 때 가장 매력적인 전략이 된다²⁾. 미생물 biopolymer들은 현재까지는 발효나 생합성에 어려움이 많으므로 다당류 시장의 작은 부분을 차지하고 있지만 기후조건 변화와 무관하고 공간적 조건과 공급면에서 안정성이 높으므로 가격이 저렴한 이점을 가질 것이다. 가장 대표적인 미생물 biopolymer로서는 Xanthomonas Compestris의 발효에 의해서 생산된 세포의 다당류인 Xanthan gum이다. Xanthan gum의 응용은 가격으로 인하여 제한되어 있지만, 최근까지도 많은 산업쪽에 응용되고 있는데 oil recovery(26%)에 놀라운 능력을 가지고 있을 뿐만 아니라, 특히 식품산업쪽(46%)에서도 큰 관심이 집중되고 있다. viscosifier, suspending, bonding agent, emulsion stabilizer 및 setting agent 등의 기능특성 등³⁾으로 식품산업쪽의 응용은 Table 1과 같이

다양하다.

최근에 알려진 것으로는 Table 2에서 보는 바와같이 Pseudomonas elodea로부터 얻은 Gellan gum은 agar의 대용품으로 gelling agent로서 미생물 media에 사용되며, Gellan gum의 유일한 성질은 구조적 식품(Structural food) 산업에 커다란 잠재성을 가지고 있다. Alcaligenes로부터 얻은 heteropolysaccharide인 Welan gum은 혼탁능력과 열안정성이 우수하여 oil 산업분야에 이용되며, Rhamsan gum은 고온과 전단(shear)에 안정한 혼탁성질이 우수하여 액체비료와 살충제의 기제로 농업적 응용이 시도되고 있다⁴⁾. 미생물 biopolymer 생산은 genetic level에서 구조조작이 가능하므로 새로운 미생물 biopolymer들의 개발과 특수한 임무를 수행하기 위한 고유기능기들의 변경은 그들의 다양한 응용에 무한한 잠재성을 부여해준다.

I. 다당류의 일반적 구조

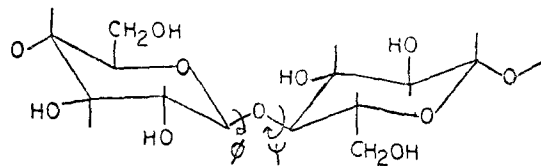
다당류의 특성들은 그들이 갖는 화학적 성분 및 그들의 배열과 입체구조에 의존된다. 다당류의 구조연구는 주로 당 성분의 본성(Nature)과 동정(Identification)이며, 아울러 glycosidic 결합의 특성을 연구하는 것이다. 그러나 최근에 와서는 다당류의 구성(organization)의 중요성과 유사성(assemblies)이 인식되어지고 있다^{5~7)}. Fig. 1에서 나타난 바와같이 중요한 다당류의 당성분은 pyranose 환의 polymer 사슬에서 나타나는데 환을 형성하는 결합은 C-1과 인접된 잔기의 0~2, 0~3, 0~4 또는 0~6 사이의 acetal형성과, α 혹은 β glycosidic bond에서 일어난다. 잔기들의 방향(orientation)은 C-1과 0~2, 0~3, 0~5 결합에 대해서 두개의 dihedral angle ϕ 와 ψ , C-1과 0~6간의 glycosidic bond에 대하여는 ω angle에 의한 것으로 정

Table 1. Polysaccharide Food Markets

	Dry foods	Canned foods	Glaaed foods	bakery products	Dairy products	Frozen foods	salad dressings	Beverages	Soft drinks	Brewing	Confectionery	Pharmaceuticals	Cosmetics	Detergents	Pet foods
<i>Microbial</i>															
Xanthan gum	×	×	×	×	×	×	×	×	×			×	×	×	×
<i>Seaweed</i>															
Alginates	×	×	×	×	×	×	×	×		×	×	×	×	×	×
Agar						×	×	×				×	×	×	
Carageenan		×			×				×	×	×		×		×
<i>Plant</i>															
Guar gum			·	×	×	×						×			×
Locust bean gum				×	×							×			×
Psyllium Husks					×							×			
Quince seed					×										
Gum arabic				×						×	×	×	×	×	×
Gum tragacanth	×	×				×		×	×		×	×	×	×	
Gum karaya											×	×	×		
<i>Cellulosics</i>															
CMC		×	×	×	×		×	×			×	×	×	×	×
HPC									×			×			
HEC		×		×			×								
Microcrystalline cellulose	×											×	×		

Table 2. Microbial polysaccharides of commercial interest

	Type	Microbial Source
<i>a. Commercially Available</i>		
Xanthan gum	Anionic	Xanthomonas campestris
Gellan gum	Anionic	Pseudomonas elodea
Dextran	Neutral	Leuconostoc spp.
<i>b. Under Current Development</i>		
s-130 polysaccharide	Anionic	Alcaligenes spp.
s-194 polysaccharide	Anionic	Alcaligenes spp.
<i>c. Developed to large scale</i>		
Scleroglucan	Neutral	Sclerotium spp.
Curdlan	Neutral	Agrobacterium spp. Alcaligenes faecalis
Pullulan	Neutral	Aureobasidium pullulans
Bakers'yeast glycogen	Neutral	Saccharomyces cerevisiae
Bacterial alginate	Anionic	Azotobacter vinelandii Pseudomonas aeroginosa

Fig. 1. Dihedral angles ϕ , ϕ and ω .

의 된다^{8~10)}.

용액에서 다당류의 거동을 결정하는데 있어서 기초적인 특성들은 사슬의 배열과 결합형태, polymer-solvent 상호작용이다. 한 물질은 용질과 물분자사이의 상호작용에 의해서 물에 용해된다. 그런데 친수기를 갖는 다당류의 bound water는 bulk water와는 다른 성질을 나타내므로 물이 용매로서 순수하게 작용하는지 아니면 물이 다당류에 근접되었을 때 특별한 구조를 갖는지의 의문이 제기된다²⁾. 다당류와 결합하는 물의 양(hydration value)은 다당류가 단당류나 이당류보다 더 많은 물과 결합할 수 있다는 것을 제시해주며, 이 사실은 다당류의 산업적 응용이 다양함을 말해준다.

용액중에서 다당류의 sugar monomer 주위에 수화층이 존재하며 수소결합에 의해 monomer와 강하게 결합된 첫번째 물층이 존재한다. 이것의 존재는 공간분석에서 일관성이 있다. Fig. 2에서 본 바와같이 이 물층은 친수기당 2~3분자의 물로 구성되어 있으며 다당류 골격주의의 counter ion과 인접된 coion들 사이에 2~3개의 수화층이 존재한다. 이 두번째 hydration shell은 N.M.R¹¹⁾과 I.R 분석¹²⁾에 의해서 증명되었다.

용액이나 고체상태의 다당류에 관한 일 반론은 sugar monomer와 glycosidic linkage 형태를 기초로 하여 homopolysaccharide에 예측되는 Model^{6,13)}을 Fig. 3와 같이 가장 간단한 범주내에서 제시할 수 있다. 특히 식품산업쪽의 관심은 biopolymer의 gel 형성능력과 관계되는 cross-linking region들의 구조로서 농후한 용액의 shear dependency와 dynamic 특성인 겹탄성을 측정함으로서 그 biopolymer들이 갖는 기능특성을 알 수 있으며 기능특성에 따라 그들의 응용이 결정된다. 아울러 biotechnology로 polymer의 화학구조인 composition, glycosidic linkage의 sugar sequence, crosslinking 혹은 branching을 밝혀냄으로서 구조가 확정된다. 따라서 생합성의 가능여부, 기능기들의 변경 및 유전공학등에 의한 특수한 기능을 가진 새

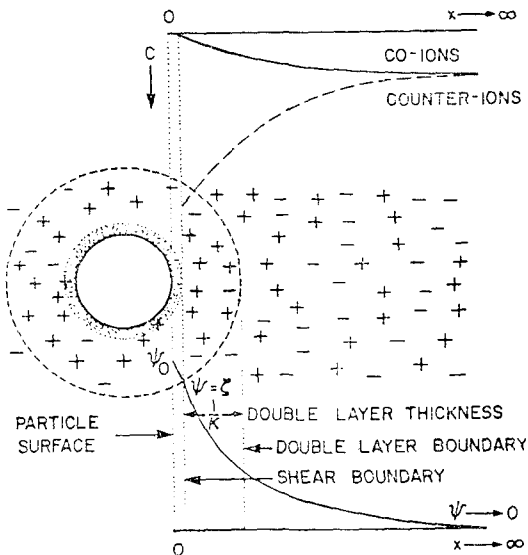


Fig. 2. The Electric Double Layer around the Particle Surface.

로운 biopolymer의 개발이 이루어진다.

biopolymer의 구조-특성-기능 상호관계는 Fig. 4와 같다.

II. Intrinsic Viscosity

Biopolymer의 사슬의 입체구조와 관계되는 실험적 정보는 묽은 용액에서 intrinsic viscosity, $[\eta]$ 을 연구하는 것이며 이는 용액에서 개개의 polymer가 겹령하는 hydrodynamic volume으로 표현한다. $[\eta]$ 는 molecular weight, chain stiffness, solvent의 질에 좌우된다. 또한 $[\eta]$ 는 molecular weight, chain conformation, shape and size, polymer-solvent interaction, overlap parameter 등에 좋은 index를 제공해 준다¹⁴⁾. $[\eta]$ 는 다음과 같이 정의된다²⁾.

Table 3. Rheological parameter for Biopolymers

Biopolymers	Solution condition	M.W.	$[\eta]$ (dl/g)	"a"	B
Chitosan	Acetic acid	2×10^5	6.4	0.15	0.15
Pullulan	H ₂ O	2.5×10^5	—	0.66	—
Amylose	H ₂ O	3.0×10^5	0.60	0.68	—
Amylopectin		9.0×10^7	1.27	—	—
Cellulose	Cardoxen	—	—	0.75	—
Hyaluronic acid	H ₂ O-NaCl	5.0×10^5	8.50	0.82	0.07
Carboxymethyl cellulose	0.005M NaCl	4.0×10^5	12.30	0.95	0.05
Alginate	0.1M NaCl	2.0×10^5	11.9	1.00	0.04
Sodium alginate	H ₂ O	2.0×10^5	31.0	1.00	—
Xanthan	H ₂ O	2.0×10^6	190.0	1.80	0.005
Zooglan	H ₂ O	2.0×10^7	167.0	—	0.02
Gum arabic	—	3.0×10^5	0.13	—	—
Sodium Pectinate			—	—	0.04
Dextran sulfate			—	—	0.23
Dextran		$10^4 \sim 10^8$	—	—	—
Carboxymethyl amylose			—	—	0.20
Polyacrylate			—	—	0.23
Gellan			21.2	—	0.03
Welan			17.9	—	0.01

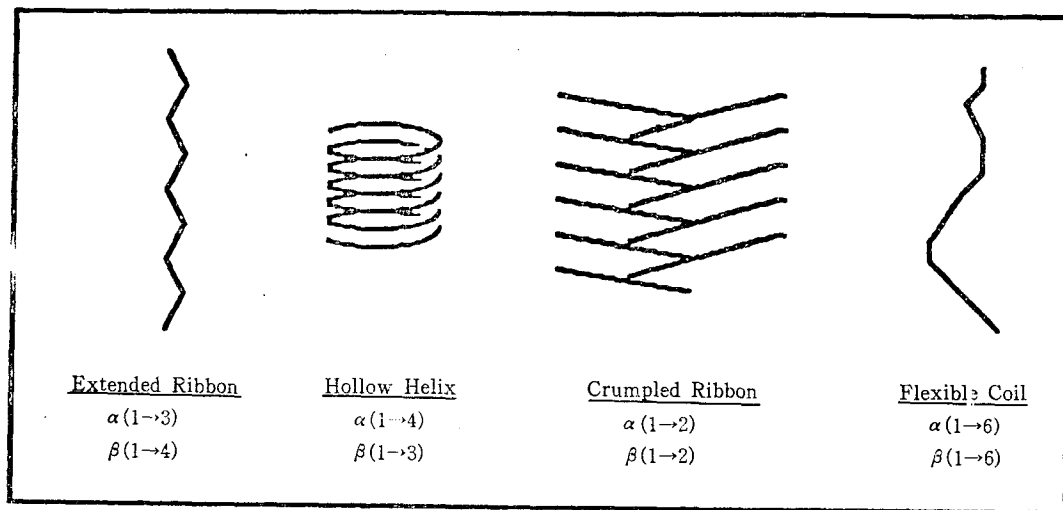


Fig. 3. Schematic representation of the regular conformations predicted for glucans by conformational analysis(Powell, 1979).

$$[\eta] = 1/C (\eta/\eta_0 - 1)_{C=0}$$

$[\eta]$ 의 단위는 $1/C$ 꽤 dl/g(100 ml/g) 혹은 ml/g 으

로 나타낸다. $[\eta]$ 는 Huggin's Equation^[15, 16]에 의한
외삽법으로 산출한다. Table 3는 보고된 여러 biopol-

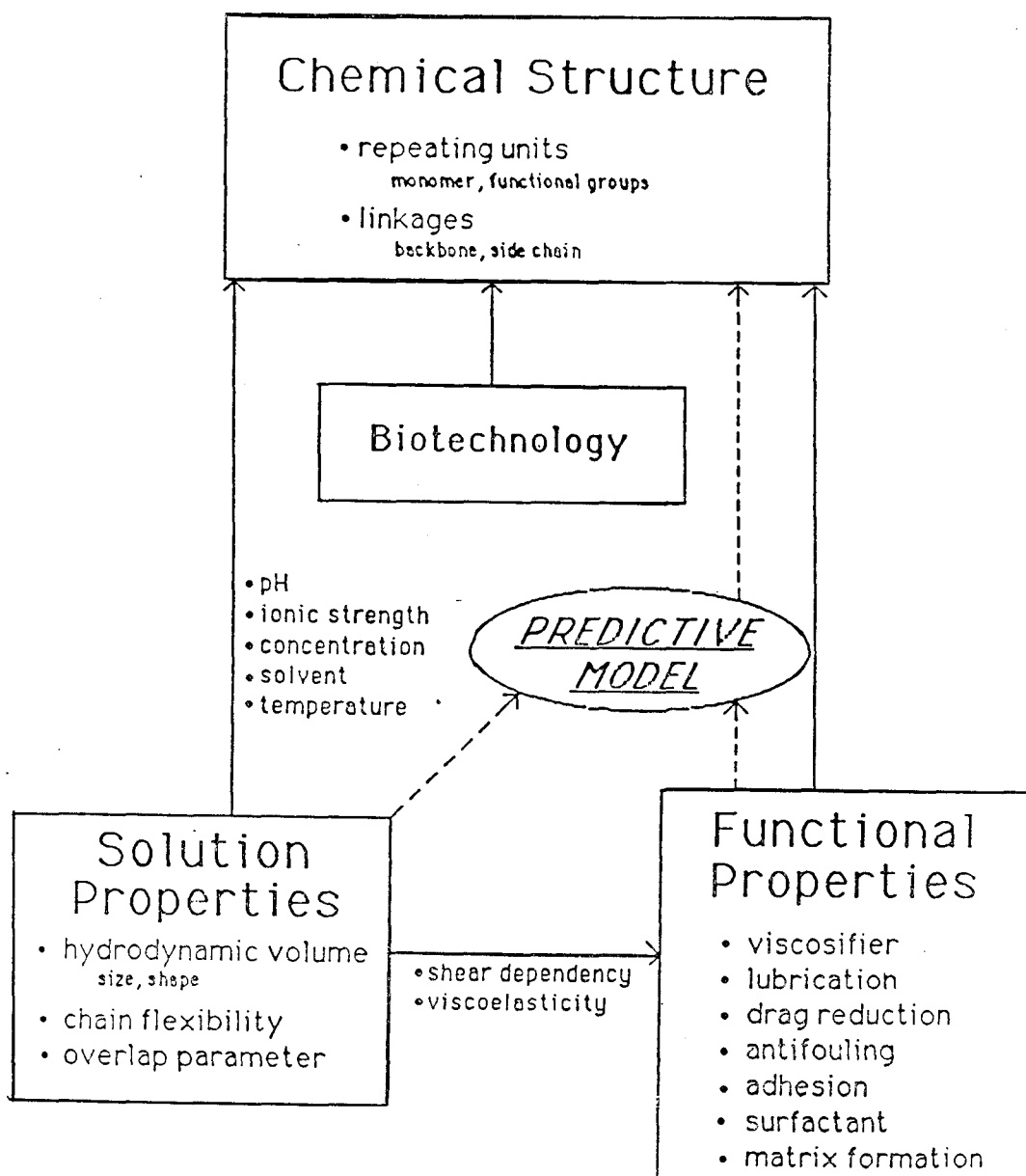


Fig. 4. Structure-Property-Function

ymer의 $[\eta]$ 및 여러 특성치를 나타낸 것이다. 매우 조밀한 molecular coil을 갖는 gum arabic과 amylose를 제외하고는 높게 나타났다. 이는 expanded coil 구조나 긴 rod와 같은 구조를 갖는 것이 분명하다. Bond angle이나 rotation angle의 제한은 chain flexibility와 관계되는데 절 flexible하거나 더 extended chain은 높은 $[\eta]$ 을 갖는다.

(i) Chain Conformation

용액에서 polymer와 polymer 또는 polymer와 solvent 간의 상호작용은 매우 중요하다. 이와 같은 표현은 Mark-Houwink Equation¹⁷⁾ (Table 4)로 표현하는데 이 식의 중요성은 지수 "a"가 용액에서 polymer 분자의 모양과 관계된다. 고분자 전해질(polyelectrolyte) 다양류에 대해서 지수 a는 pH와 이온강도에 크

Table 4. Value of Mark-Houwink Constant(a) for difference molecular conformations

$$[\eta] = KM^a$$

Conformation	Mark-Houwink Constant (a)
Rigid spere	0
Flexible chain	
random coil(equivalant spere model)	0.5~0.8
free draining	1.0~1.2
Rod	1.8

게 영향을 받는다. Table 3에서 보는 바와 같이 Chitosan(0.15)와 같은 고분자 전해질 다당류는 염이 존재하지 않는 풀은 산에서 다른 polymer보다 조밀한 사슬(rigid sphere)을 갖는 반면 Xanthan gum(1.8)은 extended rigid rod 모양을 갖는다.

(ii) Chain flexibility

Biopolymer의 chain flexibility를 알아보기 위해서는 "theta" 조건하에서 characteristic ratio(C_∞)을 측정한다. C_∞ 는 Yamakawa Eq¹⁶⁾으로부터 계산된다.

$$C_\infty = \frac{6(S)_\theta}{Nw l_2}$$

여기서 C_∞ =Characteristic ratio

Nw =Degree of polymerization

l =monomer length

$(S)_\theta$ =theta condition

일반적으로 $C_\infty < 10$ 일 때는 helical chain을 형성하고 있으며, $C_\infty > 10 \sim 100$ 일 때는 extended ribbon 형태를 갖는다. 또한 C_∞ 값은 당의 OH group의 equatorial (e-e) 혹은 axial orientation(a-a)의 정확한 정보를 제시해준다.

(iii) Chain stiffness

다당류의 chain stiffness는 $[\eta]$ 로부터 계산할 수 있으며 Smidsord 와 Haug Equation¹⁸⁾에 의해서 구한다.

$$[\eta] = A_1 + B[\eta]_{0.1}^{1.3} Cs^{-1/2}$$

여기서 A_1 =constant

B =Chain stffness

$[\eta]_{0.1}$ =Intrinsic viscosity at 0.1M KCl

Cs =Salt concentration

constant B는 charge 상태와 분자량과는 무관하지만 괄격이 겹고함을 나타낸다.

"B"의 값이 0.005(rigid rod)에서부터 0.24(polyelectrolyte)의 값을 가지며 Table 3에서와 같이 Zooglan

(0.02), Xanthan(0.005), Gellan(0.03), Welan(0.01)중에서 Xanthan이 제일 단단하다.

(iv) Chain branching

분자량이 같을 때 branched polymer는 linear polymer보다 조밀한 구조를 갖는다. amylopectin과 Gum arabic 같은 branched polymer는 낮은 intrinsic viscosity를 갖는다.

(v) Electrostatic repulsion

polyelectrolyte polymer는 charge ion를 사이에 정전기적 반발이 있기 때문에 비이온성 polymer보다 더 팽창된 구조를 갖는다. 이러한 특성은 용액의 이온 강도가 증가함에 따라 감소한다.

$[\eta]$ 와 이온강도 사이에 다음과 같은 식이 성립된다.

$$[\eta] \propto \frac{1}{\sqrt{I}}$$

$1/\sqrt{I}$ 에 대한 $[\eta]$ 의 의존도는 Steric effects 때문에 단단하고 extended polymer보다 flexible polymer에 대해 더 강하다.

(vi) Polymer-Solvent Interaction

polymer의 회전(gyration)반경은 용매의 질에 영향을 받는다. 좋은 용매에서는 polymer-solvent interaction은 호의적이고 coil의 확장을 초래한다.

$$\alpha^{-2} = \alpha^2 \alpha_0^{-2} = \alpha^2 C_\infty n l^2$$

α =expansion factor

theta 용매(또는 ideal solvent)중에서는 $\alpha=1$ 이며 좋은 용매중에서는 $\alpha>1$, 좋지못한 용매에서는 $\alpha<1$ 이다(Fig. 5).

II. 농후한 다당류 용액의 flow behavior

1) Zero shear rate viscosity

농후한 용액에서 분자들사이의 상호작용은 점성에 기여한다. overlap degree는 polymer 농도와 polymer의 회전반경에 좌우된다. 회전반경이 $[\eta]$ 와 관계되므로 생성물 $c[\eta]$ 는 polymer 분자들사이에 overlapping의 정도를 측정함으로서 얻을 수 있다. non-dimensional parameter는 가끔 coil-overlap parameter로 불리운다. Morris 등^{19~21)}은 최근 다당류 용액에 대해서 $c[\eta]$ 에 대한 η_{spo} (Zero shear rate)을 외삽법으로 농도와 다당류 용액의 관계를 일반화하였다(Fig. 6).

$$\text{여기서 } \eta_{spo} = \frac{\eta - \eta_0}{\eta_0} \quad \dot{\gamma} \rightarrow 0$$

coil overlap parameter의 값이 약 4정도에서 이 축 log 값으로 plot하면 slope의 변화가 일어난다. 이것 은 entanglement coupling의 개시(onset)란 말로 해

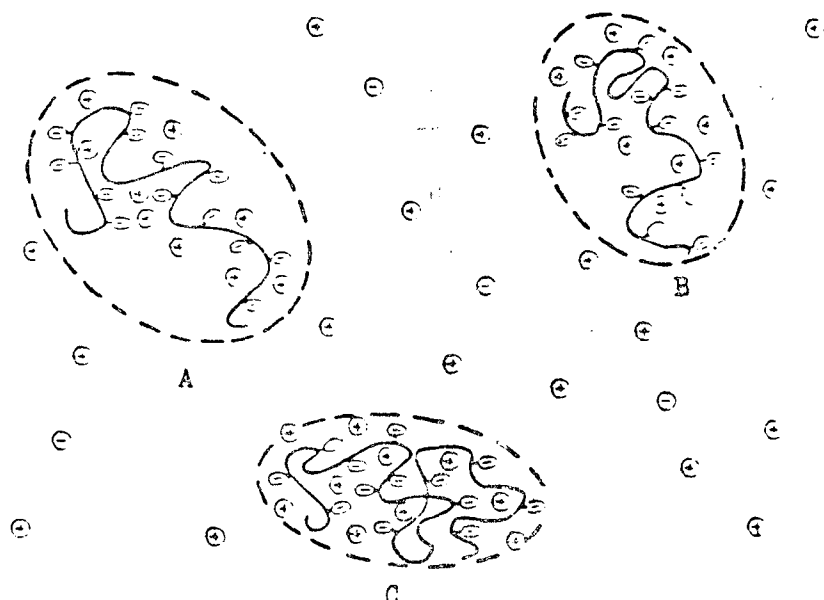


Fig. 5. Polymer-Solvent Interaction. A; $\alpha > 1$ (good solvent) B; $\alpha = 1$ (theta solvent), C; $\alpha < 1$ (bad solvent)

석된다. 농후한 용액에서 parameter coil 들은 물리적 으로 entanglement 가 일어날 수 있고 이 entanglement 는 결성과 겹탄성 거동 양쪽 다 크게 기여한다. c [η]의 임계값이 하에서 Zero shear rate 결성은 $C^{1.4}$ 에 의존되지만 높은 농도에서는 $C^{3.3}$ 에 의존된다. Polymer 의 [η]을 알고 있다면 Zero shear rate viscosity 의 측정이 가능하고 역으로 [η]도 계산할 수 있다. 어떤 polymer 는 Fig. 6에 맞지 않는 것도 있으며 galactomannose, agar gum, locust bean gum 과 hyaluronate 와 같은 polymer 는 낮은 pH에서 농후한 농도에서 기대했던 것보다 높은 viscosity 를 갖는다. Synthetic polymer 에 있어서 실제의 농도(C)는 임계농도 (C^*)보다 클때 이 영역을 "semi-dilute"라 하고 $C < C^*$ 일때는 "dilute"하다고 한다²⁴⁾. 일반적으로 $C > C^*$ 일 때 농후하다고 한다. 이 범위에서 polymer coil 들은 overlap 되고 entanglement coupling 이 rheology 거동을 지배한다. 농도가 증가하면 점도가 증가하고 겹탄성과 non-Newtonian 거동을 나타낸다. 후자는 shear 에 의존하게 된다. 겹탄성 물질은 변형되었을 때 energy 를 저항할 능력이 있는 반면 순수한 겹성물질은 적용된 기계적 energy 가 열로서 낭비된다. entanglements 는 용액에서 일시적으로 crosslinks 들로 행동한다. entanglement 가 형성되는 데는 어떤 시간을 가지므로 entanglement 수는 shear rate 가 증가함에 따라 감소

할 것이다²⁵⁾.

ii) Steady Shear Viscosity

Shear rate dependency

Shear dependency 는 polymer system 에 있어서 구조의 본성을 나타낸 것으로서 pseudoplastic behavior 와 shear thickening 두 현상과 관계된다²⁶⁾. Pseudoplastic 영역의 shear rate 와 shear stress 관계는 일반적으로 Power law Equation 으로 측정한다.

$$\tau = Y + br^s$$

여기서 τ =shear stress

r =shear rate

Y =yield stress

b =proportionality constant

s =flow behavior index

Pseudoplastic behavior 는 구조의 계속적인 파괴나 재배열을 나타내며 flow 에 멀 저항한다. Table 5는 Xanthan gum 의 steady shear viscosity 를 측정한 값이다. Y (yield stress) 는 농도가 증가함에 따라 증가하였으며 shear index 는 감소하였다. 이는 shear thinning 이 높다는 것을 제시해주며 shear rate 에 의존하는 pseudoplastic(Fig. 7) behavior 를 나타냈다. overlap 정도는 다행히 농도와 크기에 의해 결정되는데 [η]로부터 계산한 overlap 되는 농도는 Xanthan 의 경우는 0.005 g/dl 이므로 위 농도에서는 overlap

Table 5. Influence of Gum Concentration on Xanthan Gum Yield Value

Gum Concentration %	Yield Value (dynes/cm ²)	K	n
0.1	0.424	1.43	0.473
0.25	0.969	6.35	0.403
0.5	8.15	21.2	0.314
1.0	38.8	59.3	0.294

Where K=consistency coefficient
n=flow behavior index

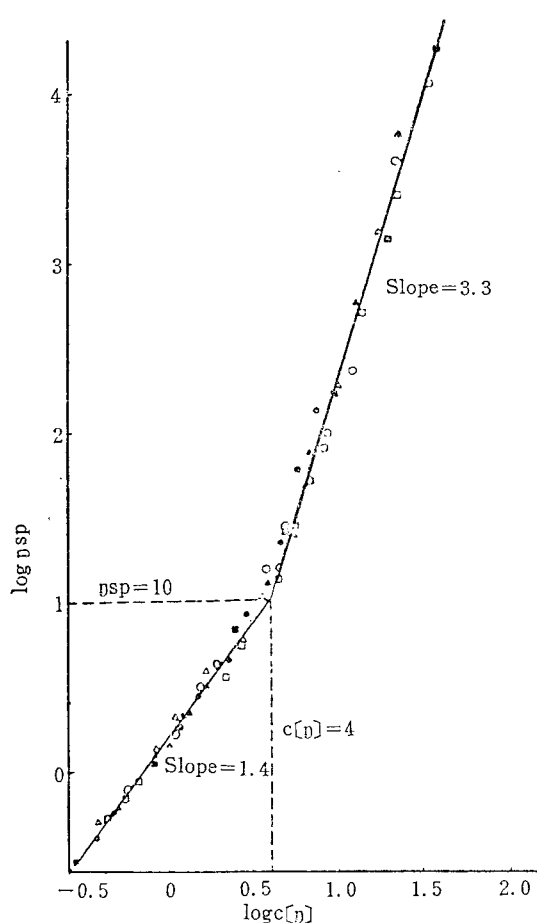


Fig. 6. Variation in the Zero Shear Viscosity of Polysaccharide Solutions with the Degree of Occupancy of Space by the Polymer Coils

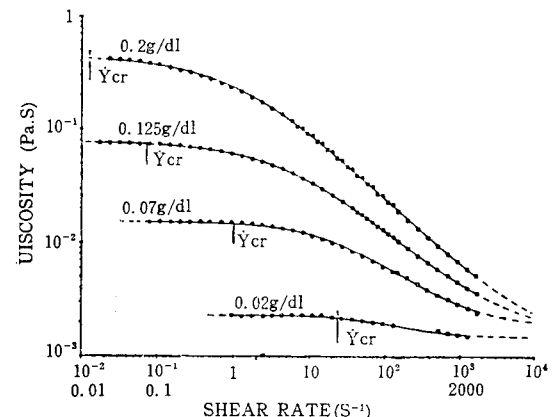
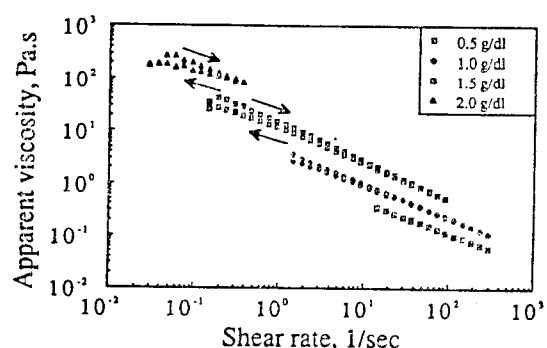
Fig. 7. Flow curves of xanthan solutions. Experimental data:, Low shear 30;, Rheomat 30;, fitted curve(eqn(1)). At $\dot{\tau}=\dot{\tau}_{cr}$ $\eta=0.95-\eta_0$.

Fig. 8. Dependence of Apparent Viscosity(pH 7, salt concentration OM KCl and 25°C) on Shear Rate and Zooglan Concentration.

이 발생할 것이고 Y, b 는 증가하게 된다.

Time dependency

일정한 shear rate 조건하에서 shear time에 의한 shear stress는 감소하는 경우 thixotropic 현상이라하고 증가하는 경우를 rheopectic flow라 하는데 thixotropy에 관계되는 인자는 pseudoplastic behavior와 관련되며 rheopectic flow behavior는 shear-thickening에 관계된다. Zooglan 115는 1.0% 이상의 농도에서는 thixotropic behavior를 나타냈다(Fig. 8)

iii) Dynamic properties

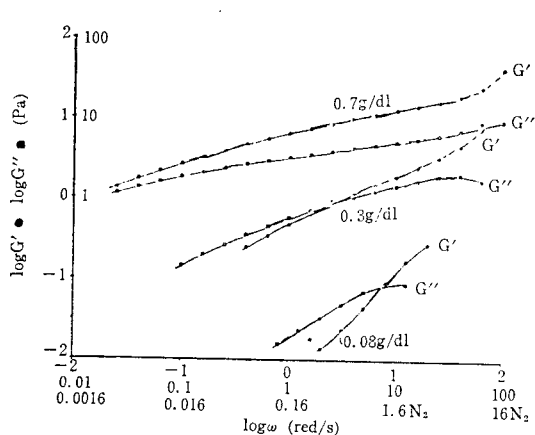


Fig. 9. The loss(G''), ■, and storage(G'), ●, modulus as a function of frequency-effect of concentration. The dashed part of the line corresponds to experimental results which are not superimposed the master curve

Dynamic 특성들(linear viscoelastic behavior)인 storage modulus(G'), loss modulus(G'')와 damping은 glass transition, crystallinity, crosslinking 및 분자응집에 매우 민감하다²³⁾. 일반적으로 rubbery region에서 damping은 최소이고 energy는 낭비없이 저장된다²⁷⁾. G' 이 G'' 보다 커질 때 elastic plateau Zone이 시작된다. G' 와 G'' 의 값이 같을 때 frequency(ω)는 $\tan \delta = 1$ 이다. $\tan \delta < 1$ 일 때는 viscous flow behavior를 갖으며 $\tan \delta > 1$ 일 때는 elastic behavior를 갖는다. 또한 rubbery elasticity 이론²⁸⁾에서 G' 가 frequency에 독립적인 rubbery region에 적응될 수 있다는 가정 하에 다음 식이 성립된다.

$$G' = CRT/Mc$$

여기서 Mc =mean molecular weight between molecular entanglement

R =gas constant

T =temperature(°K)

Yin 등에 의하면 entanglement degree(M/Mc)는 다음과 같은 영역에서 G' 와 G'' 로부터 구할 수 있다.

$$G''/G' = 1.02(2 Mc/M)^{0.8}$$

여기서 G''/G' =damping

M =molecular weight

Fig. 9는 Xanthan gum($C=0.025$ to 0.8 g dl^{-1})의 dynamic 특성을 나타낸 것이다. Fig. 9에서 보는 바와 같이 농도가 증가함에 따라 점탄성 거동은 약한 elastic에서 rubber-like liquid로 변화함을 보여주며, $G'' >$

G' 일 때는 flow behavior를 갖고 $G' > G''$ 일 때는 elastic behavior를 갖게 된다. Zooglan과 같은 biopolymer는 높은 frequence에서 elastic plateau zone을 갖는 polymer도 존재한다.

결 론

Biopolymer의 기능특성은 그들이 갖는 물리적 특성과 용액특성에 의해 좌우된다. 용액에 있어서 biopolymer behavior는 polymer와 solvent 상호작용에 기인하며, biopolymer의 monomer composition, 결합률, 치환 group 등을 포함한 특성들은 수화도(hydration degree)에 기여한다. 또한 용액특성은 용매구성뿐만 아니라 이온강도, 온도, pH 등에도 매우 영향을 받는다. biopolymer의 물리적 특성과 여러 조건 하에서 그들의 behavior가 밝혀진다면 그들의 응용은 증가될 것이며, 이론적으로 구조-특성-기능 상호관계를 기초로 하여 원하는 기능에 따라 biopolymer의 한 특수한 구조가 design 될 수 있다. 유전자조작에 의한 수율증대와 발효기술 및 분리정제의 기술이 향상된다면 미생물 biopolymer의 생산성과 경제성은 크게 신장된다. 또한 대규모 Yeast 발효의 부산물인 yeast glucan의 잠재성이 개발된다면 양조산업이나 식품산업쪽의 응용은 더 다양할 것이다.

REFERENCES

- 1) Mitchell, J.: *J. Texture Studies*, 11, 315(1980)
- 2) BioInformation Associates: *Impact of Biotechnology on the Production and Applications of Biopolymer*, M.I.T., p. 13a(1985)
- 3) Sandford, P.A., Cottrell, I.W. & Pettitt, D.J.; Microbial polysaccharides, pure & Appl. Chem., Vol. 56(7), 879~892, 1984.
- 4) Colegrave, G.T: Agricultural applications of Microbial Polysaccharides, Ind. Eng. Chem. Prod. Res. Vol. 22(3), 456~460, 1983.
- 5) Morris, E.R., 1979. Polysaccharide and conformation in solutions and gels. In: Polysaccharides in Food. J.M.V. Blanshard, and J.R. Mitchell, ed. Butterworth, London, p. 15. 1979.
- 6) Morris, E.R., Rees, D.A., Thom, D. and Welsh, E.J. Conformation and intermolecular interactions of carbohydrate chains. *J. Supra-*

- mol. Struct. 6:259~274. 1977.
- 7) Lee, H.B., Jhon, M.S. and Andrade, J.D. Nature of water in synthetic hydrogels. I. Dilatometry, specific conductivity, and differential scanning calorimetry of poly(hydroxyethylmethacrylate). J. Colloid Interface Sci. 51: 225~238. 1975.
- 8) Rees, D.A. Biochemistry of Carbohydrates. MTP International Review of Science, Biochemistry Series One. Whelan, W.J., ed., Vol. 5, p. 1, Butterworth, London. 1975.
- 9) Rees, D.A., Morris, E.R., Thom, D. and Madden, J.K. Shapes and interactions of carbohydrate chains, In: The Polysaccharides. Vol. 1: Aspinall, G.O., ed. Academic Press, New York, p. 195. 1982.
- 10) Dunfield, L.G. and Whittington, S.G. A Monte Carlo investigation of the conformational free energies of the aldohexopyranoses. J. Chem. Soc. Perkin Trans. 2:654~658. 1977.
- 11) Mank, V.V., Solomentseva, I.M. Baran, A.A. and Kurilenko, O.D. NMR study of the hydration of carboxymethyl cellulose. Ukr. Khim. Zh. 1974.
- 12) Zundel, G. Hydration structure and intermolecular interaction in poly electrolytes. Angew. Chem. Internat. Edit. 8:499~509. 1969.
- 13) Powell, D.A. Structure, solution and properties and biological interactions of some microbial extracellular polysaccharides. In: R.C.W. Berkeley, G.W. Gooday, and D.C. Ellwood (eds.), Microbial Polysaccharides and Polysaccharases. New York: Academic Press. 1979.
- 14) Mitchell, J.R. Rheology of polysaccharides solution and Gels. In: Polysaccharide in Food. J.M.V. Blanshard and J.R. Mitchell, ed. Butter worth, London. 1979.
- 15) W.R. Kriham and P.J. Flory: *J. Polymer Sci.*, 11, 37(1953)
- 16) T.G. Fox and P.J. Flory: *J. Phys. and Colloid Chem.*, 53, 197(1949)
- 17) Flory, P.J. The Principles of Polymer Chemistry. Cornell University, Press, Ithaca, New York. 1953.
- 18) Smidrod O. and Haug, H.: Estimation of the relative stiffness of the molecular chain in polyelectrolytes from measurements of viscosity at different ionic strength, *Biopolymers*, 10, 1213(1971)
- 19) Morris, E.R., Cutler, A.N., Ross-Murphy, S.B., Rees, D.A. and Price, J. Concentration and shear rate dependence of viscosity in random coil polysaccharide solutions. *Carbohydr. Polymers* 1:5~21. 1981.
- 20) Morris, E.R. Rheology of Hydrocolloids. In: Gums and Stabilizers for the Food Industry 2. G.O. Phillips, D.J. Wedlock, and P.A. Williams(eds.), p. 57. Pergamon Press, Oxford. 1984.
- 21) Morris, E.R. Richardson, R.K. and Taylor, L.J. Correlation of the perceived texture of random coil polysaccharide solutions with objective parameters. *Carbohydr. Polymers* 4: 175~191. 1984.
- 22) Casson, N.: A flow equation for pigment oil suspensions the printing ink type. In *Rheology of Disperse Systems*, C.C. Mill Peramon Press, London(1959)
- 23) Tetsuhisa Nakamura, Sung Ja Koo, Pasawadee Pradi pasena, Chokyun Rha and Anthony J. Sinskey: Solution Properties of Polysaccharide Flocculant produced by Zoogloea Ramigera 115: *Flocculation in Biotechnology and Separation Systems*, ed. Y.A. Attia, Elservier Science Publishers B. V., Amsterdam, (1987)
- 24) de Gennes, P.G. Scaling Concepts in Polymer Physics. Cornell University Press, Ithaca, NY. 1979.
- 25) Graessley, W.W. The entanglement concept in polymer rheology. *Adv. Polym. Sci.* 16: 26~54. 1974.
- 26) Chokyun Rha(1978): Rheology of Fluid Foods, Food Technology, July, 1978.
- 27) Trivedi, H.C. and Patel, R.D.: Macromol. Chem., Rapid Commun 3:317 1978.
- 28) Treloar, L.R.G. The Physics of Rubber Elasticity. 3rd Edition, Clarendon Press, Oxford. 1975.